

KR

13619

I. (Ar, Xe, Rn)

1930

Holweck F., Wertenstein L.

Nature 1930, 126, 433

"Ionization potential of radon

C. A., 1931, 27

10



Recd 92 K.

I-1450

I948

I (Kr, Ar, Xe, N₂, CO₂, C₂H₂, CH₄, CD₄, C₂H₆)

Honig R.E.

J.Chem.Phys. I948, I6, I05-I2.

"Ionization potentials of some hydrocarbon series".

Ch.A., I948, 2856g

W



P-1

Kr

envelope
number

Bsp - 5404-1

Sittler W.R. et al. 1949

"J. Opt. Soc. of Amer.
1949, 39, n6, 474-7.

T-1445 BΦ -1157 -111

Ar, Kr, N₂, CO (I)

I95I

Fox R.E., Hickam W.M., Kjeldaas T., Grove D.
Phys. Rev. I95I, 84, 859-860. J.

Ionization potentials and probabilities
using a mass spectrometer.

Chem. Abstr. I952, 46,
N 9, 3849 h

A-471 1952

Cr, Mn, Fe, Co, Ni, Cu, Zn, Ga, Ge,
As, Se, Br, Kr, Rb, Sr, V, Zr, Nb
(Ei)

Moore C.E.

Natl. Bur. Standards (U.S.), Circ. 467, At.
Energy levels, 1952, 11, 227 pp.

J,

CA, 1953, 419I h

I-1446

Bφ-5581-I

I953

Kr, Xe (I)

Fox R.E., Hickam W.H., Kjeldaaas T.

Phys. Rev., I953, 89, 555-8.

Ionization probability curves for krypton and xenon near threshold.

ChA., I953, 7309c



10

V₉

1-1447

1953

Ar, Kr, N₂, CO (I)

Fox R.E., Hickam W.H., Kjeldaas T., Grove D.J.
Natl. Bur. Standards (U.S.), 1953, Circ. No. 522
211-16.

Direct measurement of appearance potential
and ionization probability using a mass
spectrometer.

Ch.A., 1953, 10342h

10



V +

-7-1455

I(He, Ne, Ar, Kr, Xe, N₂, HCl, CO₂)

1953

Morrison J. D.

J.Chem.Phys. 1953, 21, N 10, 1767-1772

()

Studies of ionization efficiency.
Part III. The detection and interpretation
of fine structure.

PA, 1955, 20551

40



✓

I-1960

$\frac{K\mu}{\lambda c}$

(данные И.С.Б.)

1958

Zhekaevata N., Bichev G.II.

Phys. Rev., 1958, 109, II, 6, 2029-2031 (США)

Оптическое излучение с возбуждением
уровней криптона и якона.

PM, 1959, № 1
57.

10

7-1457
Ar

ВФ-5427-I

1959

Kr

(атомные постоянные)

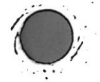
Paul E.Jr., Humphreys C.J.

J.Opt.Soc.America, 1959, 49, N 12, II 86
II 87.

Вновь наблюденные линии аргона и криптона в области чувствительности приемника из сульфида свинца.

РЭХ, 1960, №21,
83678.

VO



90-1

I-1444

1961

Kr, He,
Hg } (I)

Berman F.H., Morrison J.D.

J.Chem.Phys., 1961, 34, N 4, 1407-
1410 (am.)

Ionization potentials of multiply
charged krypton, xenon and mercury.

PK, 1962,
23561.

10

K2

1961.

B.C. Fawcett

B.B. Jones; R. Wilson.

Checkup

B90 - 5642 - T

"Proc. Phys. Soc."

1961, 78, N6, Part I,
1223-26.

1962

Kr

Baldini Giancarlo.

Nys. Rev., 1962, 128, n^o 4, 1562.

Y. q. спектр морсогенеза
нидергора Ar, Kr, Xe.

X-1964-4 5143

1962

Kr

Dressler K.

спектр в
матрице.

J. Quantit. Spectrosc. and
Radiat. Transfer., 1962, 2,
683.

Абсорбующая спектрос-
копия конденсированных
разог при низких Трх.
(см. № 0)

оф. 1963. 98

1962

XII

Grotte W. P., Mischitz E. I.

J. Chem. Phys., 1962, 36, 3368.Эффект
верну-
шегося.

Ионизирующие спектроско-
песк. спектральные
анализ. Ион. в газах
(см. Ar)

1962

Kv

Turner D. W.,
de Zohory R. J.

(3)

J. Chem. Phys., 1962, 37, n° 2, 300;

Определение концентрации ионов
положительных ионов в ионе-
парах с помощью флуоресценци-
ией.



(see III Ar)

"Ar, He, Kr, Xe" (J.P.) | 1963.

Asundi R.K.

Compt. Rend. Conf. Intern. Physico-
Chimies Ionisation Gaz., 6e, Paris,
1963, I, 29-39

Ionization cross section near
the threshold for the rare gases.

10, ④ | CA, 1964, 61, 23, 7722 h

1963

6 Д222. Коэффициент поглощения криптона в области длин волн 600—886 Å. Huffman R. E., Tapanaka Y., Lattabbee J. C. Absorption coefficients of krypton in the 600 to 886 Å wavelength region. «Appl. Optics», 1963, 2, № 9, 947—953 (англ.)

Измерены коэф. поглощения Кг в области 600—886 Å. Источником излучения служил описанный ранее (РЖФиз, 1964, 1Д509) конденсированный разряд в Не ($p = 38$ мм рт. ст.), дающий континуум Хол菲尔да в области 580—1100 Å с интенсивностью, достаточной для фотоэлектрич. измерений с разрешением 0,5 Å. Кювета с газом длиной 10 см помещалась за выходной щелью монохроматора. Точность измерений коэф. поглощения составила 10%. Обнаруженные между двумя ионизационными пределами $4\ p^5\ ^2P_{3/2}$ ($\lambda \approx 886$ Å) и $4\ p^5\ ^2P_{1/2}$ ($\lambda \approx 845$ Å) автоионизованные линии отнесены к двум сериям $p^6\ ^1S_0 - p^5\ (^2P_{1/2})ns'$ и $p^6\ ^1S_0 - p^5\ (^2P_{1/2})nd'$ соответственно. Измеренные в интервале давлений Кг 0,008—0,080 мм рт. ст. времена жизни автоионизован-

1964-68

сп. нейтр.

ных состояний изменялись в пределах $(1 \div 4) \cdot 10^{-14}$ сек. и увеличивались для более высоких членов серий. Даные для длин волн, меньших ионизационного порога $\lambda = 845 \text{ \AA}$, полученные при давлениях Kr 0,021—0,14 мм рт. ст., показали, что ионизационный континуум имеет почти постоянную интенсивность и слегка убывает при $\lambda < 725 \text{ \AA}$. На краю континуума $\lambda = 845 \text{ \AA}$ коэф. поглощения 1370 см^{-1} .

Ф. Ортенберг



Ar, Kr, Xe (Te) XI 2279 1963
Samson J.A.R.,
Phys. Rev., 1963, 132, N5, 2122-
24
Observed and predicted new autoio-
nized energy levels in krypton
argon and xenon Baes et al
to
I, 1964, 16

Kr⁸⁶

1964

(λ)

ЗД155. Длины волн излучения Kr⁸⁶, Hg¹⁹⁸ и Cd¹¹⁴ в вакууме.— Longueur d'onde dans le vide de radiations du krypton 86, du mercure 198 et du cadmium 114. «3-e Session. Com. consult. définit. mètre, Com. internat. poids et mesures. 1962». Paris, 1964, 112—114 (франц.; рез. англ.)

С помощью эталона Фабри—Перо и интерферометра Майкельсона измерены длины волн (8 значащих цифр) 19 линий Kr⁸⁶, Hg¹⁹⁸ и Cd¹¹⁴, предложенные в качестве вторичных эталонов. Описаны условия возбуждения спектров и обсуждены свойства изученных линий по отношению к использованию в метрологич. целях.

К. Вульфсон

φ. 1965. 38

8

Kr 86

1964

(λ)

3Д153. Длины волн линий излучения Kr⁸⁶, Cd¹¹⁴ и Hg¹⁹⁸.— Longueur d'onde de radiations du krypton 86, du cadmium 114 et du mercure 198. «3-e Séssjon. Com. consult. définit. mètre, Com. internat. poids et mesures. 1962». Paris, 1964, 124 (франц.)

Измерены (8 значащих цифр) длины волн линий излучения 5 линий Kr⁸⁶ (лампа Энгельгарда и видоизмененный вариант авторов), 4 линий Cd¹¹⁴ (лампа с горячим катодом и безэлектродная) и 3 линий Hg¹⁹⁸ (безэлектродная лампа). Разность хода при интерференционном измерении составляла 500 ми.

φ. 1965. ЗД



Kr 86

(λ)

3 Д154. Длины волн излучения Kr⁸⁶, Hg¹⁹⁸ и Cd¹¹⁴ в вакууме. В гисе C. F. Longueur d'onde dans le vide de radiations du krypton 86, du mercure 198 et du cadmium 114. «3-e Sésssion. Com. consult. définit. mètre, Com. internat. poids et mesures. 1962». Paris, 1964, 115—117 (франц.)

1964

Для возбуждения спектра Kr применялась лампа типа Энгельгарда, ртутный спектр возбуждался в безэлектродной лампе типа Меггерса, а кадмийевый — в безэлектродной лампе собственной конструкции. Приведены результаты определений длин волн (8—9 значащих цифр) и ширины для четырех линий Kr⁸⁶, четырех линий Hg¹⁹⁸ и четырех линий Cd¹¹⁴. Сделан вывод, что Kr-лампа является наилучшей в качестве эталона, причем особый интерес представляет линия 6422 Å.

К. Вульфсон

Ф. 1965. Зд

№

~~4089~~

4089

1964

Ga, Ge, As, Se, Br, Kr (Bi,)

Clementi E.

J.Chem.Phys., 1964, 41, N 2, 303-315

Analytical Hartree-Fock functions...

J

PK, 1965, 22 3

Kr 86
(A)

1964

ЗД156. Определение длин волн в вакууме линий испускания Kr⁸⁶, Cd¹¹⁴ и Hg¹⁹⁸. Engelhard E. Détermination de la longueur d'onde dans le vide de radiations du krypton 86, du cadmium 114 et du mercure 198. «3-e Sésssion. Com. consult. définit. mètre, Com. internat. poids et mesures. 1962.» Paris, 1964, 108—111 (франц.)

С помощью компаратора (РЖФиз, 1960, № 5, 10280) измерены длины волн (9 значащих цифр) восьми линий Kr⁸⁶, четырех линий Cd¹¹⁴ и трех линий Hg¹⁹⁸. В качестве эталона принята линия Kr⁸⁶(2 p₁₀—5 d₅). Криптоночная лампа, рекомендованная комитетом мер и весов, — с горячим катодом, ртутная и кадмиевая — безэлектродные. Разности хода при интерференционных измерениях составляли 125—500 ми.

φ. 1965-38



Kr⁸⁶

Kaufman V.

1964

"3-e séss. Com. consult. dé-
fini t. mètre, Com. internat.
poids et mesures, 1962," Paris,
1964, 125-128.

Диска борбор в вакууме
излучений Mg¹⁹⁸ и Kr⁸⁶.

(ав. Mg)

Kr⁸⁶

1964

4 Д133. Длина волны в вакууме излучения Kr⁸⁶, Hg¹⁹⁸ и Cd¹¹⁴. Masui T. Longueur d'onde dans le vide de radiations du krypton 86, du mercure 198 et du cadmium 114. «3-e Sésssion Com. consult définit. mètre, Com. internat. poids et mesures. 1962». Paris, 1964, 155—156 (франц.)

С помощью интерферометра Майкельсона измерены длины волн λ линий испускания Kr⁸⁶, Hg¹⁹⁸ и Cd¹¹⁴. Получены следующие значения ($\lambda_{\text{вак}} \text{ в } \text{\AA}$):

Kr ⁸⁶	Hg ¹⁹⁸	Cd ¹¹⁴
6458,071(8)	5792,268(4)	6440,247(8)
6422,800(6)	5771,198(4)	5087,237(9)
5651,128(7)	5462,270(5)	4801,251(9)
4503,616(3)	4359,562(4)	4679,458(0)

Ф. 1965. 48

☒

Kr, Xe (J)

XI 2010

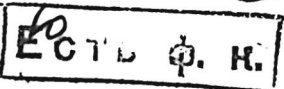
1964

Madden R.P., Coling K.,
J. Opt. Soc. Am., 1964, 54, N2,
268-69

Recently discovered auto-ionizing
states of Kr and Xe in the 380-600 Å
region.

(9)

Caf 643



ca64

1964

Kr

Munn R. F.

waterkey.

fi-yun.

J. Chem. Phys., 1964, 40,
1439 (v5)

Потенциал вращающей
ся групп квантовых
разоб. I



(See. Nc)

Kr

1969

специр

1 Д97. Длины волн [линий] Kr^{86} в вакууме.
Phelps F. M., III. ^{86}Kr vacuum wavelengths. «J. Opt. Soc. America», 1964, 54, № 7, 864—868 (англ.)

В области 3425—6907 Å измерены длины волн 95 линий в спектре Kr^{86} , возбуждаемого в лампе Энгельгарда, содержащей при комнатной т-ре 99,8% Kr^{86} и 0,2% Kr^{84} при давл. ~3 мм рт. ст. Точность измерений ~0,0001 Å.

ф. 1965. 18

Спектр

Kr ⁸⁶

1964

5 Б25. Длины воли [линий] Kr^{86} в вакууме.
Phelps F. M., III. ^{86}Kr vacuum wavelengths. «J. Opt.

Soc. America», 1964, 54, № 7, 864—868 (англ.)

В области 3425—6907 Å измерены длины волн 95 линий
в спектре Kr^{86} , возбуждаемого в лампе, содержащей при
комнатной т-ре 99,8% Kr^{86} и 0,2% Kr^{84} при давл.
 ~ 3 мм рт. ст. Точность измерений $\sim 0,0001\text{Å}$. Р. Ф.

x·1965·5

We, Ar, Kr, Xe (δ_i) VI 2196 (1964.

Peterson B.

Wiss. Physik, 1964, 27 (23), 317-19.

Determined We I, Ar I, Kr I, and
Xe I lines in the vacuum ultra-

Violet
FO

LA, 1965, 62, 52, 1211 g

Kr 86

1984

5 Д219. Измерение длин волн излучения Kr⁸⁶, Cd¹¹⁴ и Hg¹⁹⁸. Rowley W. R. G. Mesure de la longueur d'onde de radiations du krypton 86, du cadmium 114 et du mercure 198. «3-e Session. Com. consult. définit. mètre. Com. internat. poids et mesures. 1962.» Paris, 1964, 99—103 (франц.; рез. англ.)

С высокой точностью повторно определены длины волн в вакууме для четырех главных линий Cd¹¹⁴ и Hg¹⁹⁸ и две линии Kr⁸⁶ по стандартной линии 2p₁₀—5d₅ Kr⁸⁶. Измерения производились посредством интерферометра Фабри—Поро со сканированием спектра давлением и с использованием электронно-вычислительного устройства.

-27-

р. 1965. 58

19

1984

Kr
зарегистрированы
линии

5 Д220. Исследование изменений волнового числа эталонной линии излучения Kr⁸⁶ при различных условиях возбуждения. Rowley W. R. C. Etude des variations du nombre d'ondes de la radiation étalon du krypton 86 sous différentes conditions d'émission. «3-e Sésssion. Com. consult. définit. mètre. Com. internat. poids et mesures. 1962.» Paris, 1964, 104—107 (франц.; рез. англ.)

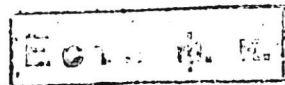
Изучено изменение волн. числа стандартной линии $2p_{10}-5d_5$ Kr⁸⁶ в зависимости от условий возбуждения. В установке использован интерферометр Фабри — Перо со сканированием спектра давлением и фотоэлектрическая регистрация. Результаты выражены в виде ур-ний, которые представляют наблюдаемое поведение источника как ф-цию т-ры и плотности тока.

оф. 1965. 58

Xe, Kr, Xe + Ar, Kr + Ar (Wi) XII 22.6.64
Roncin J.-Y., Chandrasekharan V.,
Damani N.,
C. Z. Acad. Sci., 1964, 258, N9, 2513-16

Bauplex

10



1964

Kr

(8i)

New energy levels in xenon and krypton. J. A. R. Samson
(Geophys. Corp. of Am., Bedford, Mass.). *Phys. Letters* 8(2),
107-9(1964). Energy levels due to $ms-np$ transitions (4s in
Kr and 5s in Xe) were calcd. from the ionization potential for the
s electrons. The absorption spectra of Kr, in the vicinity of its
 N_1 edge, and that of Xe, in the vicinity of its O_1 edge, were detd.
Both the calcd. and the observed values agreed well, esp. for the
highly excited states.

BGJN

C.D. 1964-60-8
8773f

196

8 Д98. Новые уровни энергии ксенона и криптона.
 Samson J. A. R. New energy levels in xenon and krypton. «Phys. Letters», 1964, 8, № 2, 107—109 (англ.)

Kr

На основании известных потенциалов ионизации и энергий *sp*-возбуждения атомов щелочных металлов оценены энергии *ns*—*mp*-переходов в Kr и Xe. Используемый для поиска соответствующих линий вакуумный спектрограф с решеткой 1200 штрихов/мм и разрешением 0,1 Å (при ширине щели в 30 μ) имел в качестве источника разрядную трубку, наполненную гелием. Наблюдаемый спектр, обусловленный переходами 4s (в Kr) и 5s (в Xe) электронов на *mp*-уровни, хорошо согласуется с предсказанным. Как в Kr, так и в Xe обнаружены сильно уширенные линии, лежащие выше границы ионизации. Форма этих автоионизованных линий согласуется с теоретич. предсказаниями Фано (РЖФиз., 1962, 9B16). Сечение ионизации в окрестности первой автоионизованной линии Kr (497,46 Å) оценено в $30 \cdot 10^{-18} \text{ см}^2$.

В. Быховский

90.1964.28

I (Ar, Kr, Xe, N₂) XI 2401/1964

Turner D.W., Alex-Jobawy M.J.,
Bull. Soc. chin. phys., 1964,
73, NS-6, 428-36. Discuss,
437-38

Molecular photoelectron
spectroscopy

PX66

20

LIBRARY OF THE
UNIVERSITY OF TORONTO LIBRARIES
Bays ecr

Kr

Xe

Спектры
поглоще-
ния Kr и Xe
ниже 160 Å

1965

6 Д222. Вновь наблюденная структура в фотоионизационном континууме Kr и Xe в области ниже 160 Å.
Codling K., Madden R. P. Newly observed structure in the photoionization continua of Kr and Xe below 160 Å.
«Appl. Optics», 1965, 4, № 11, 1431—1434 (англ.)

В области 70—200 Å исследованы спектры поглощения Kr и Xe, которые обнаружили много слабых, ранее не наблюденных резонансов в фотоионизационном континууме этих газов. Наблюденная структура в области 110—115 Å у Kr и 145—160 Å у Xe обусловлена двухэлектронными возбужденными состояниями, включающими внутренний d - и внешний p -электроны. Результатирующие конфигурации являются характеристиками центрального атома, хотя в энергетич. шкале они лежат выше третьего ионизационного предела для этих атомов. Дополнительные резонансы в спектре Xe в области 90 Å обусловлены возбуждением внутренних $4p$ -электронов. Измерено значение N_{III} -края поглощения Xe, равное 145,6 ($\pm 0,5$) эв.

† 1966. 68

Физ. 1

539.12.01

Jalla E., Wataghin G.

Two-prong proton-antiproton annihilation with formation of
a pair of charged mesons.

Nuovo cimento, 1965, 39, N 2, 635—640.

Двухлучевая анигиляция протона и антипротона с обра-
зованием пары заряженных мезонов.

1965

№ I
 ЗД178. Длины волн в спектре Kr^{86} I между 6701 и 4185 \AA . Cook A. H. Wavelengths in the spectrum of ^{86}Kr I between 6701 and 4185 \AA . «J. Opt. Soc. America», 1965, 55, № 7, 780—782 (англ.)

Результаты измерения длин волн Kr^{86} , сообщенные Национальной физической лабораторией (Англия) в 1958 г., как средние значения длин волн, наблюдаемых у анода и катода лампы постоянного тока Энгельгарда, пересчитаны, чтобы дать величины длин волн у катода, которые рекомендованы Международным комитетом мер и весов. Измерения длин волн производились с помощью эталона Фабри—Перо с алюминиевым зеркальным покрытием и разностью хода в 125 и 400 мкм. Обсуждены некоторые систематич. эффекты при измерениях. Найдено, что на полученные значения длин волн и приводимые значения двух других авторов можно полагаться до 0,0001 \AA .

В. Лодин

оф. 1966. 38

Kr I

Peterson B.

1965

Arkiv fys., 1965, 27, nr 4, 317.

Фотоморское измерение групповых линий Ne I, Ar I, Kr I и Xe I в вакуумной ячейке.

(см. Ne I)

50604.24
Ph, Ch

31
J(Ne, Ar, Xe, Kr)

1965
У 2369

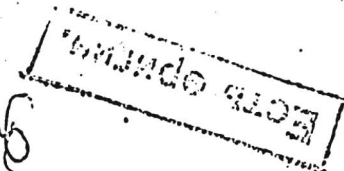
Stuber Fred A. Multiple ionization in neon,
argon, krypton, and xenon. "J.Chem.Phys.", I965,
42, N8, 2639-2643

баг. в

(англ.)

10

6



ВИНИТИ 819

Payfag 6 Kr.

1965

Decay of resonance radiation in a pulsed discharge in krypton.
R. Turner (Natl. Res. Council, Ottawa, Can.). *Phys. Rev.* 140(2A), 426-31(1965)(Eng). The decay of resonance radiation $\lambda 1236$ A. in the afterglow of a pulsed d.-c. discharge in Kr was measured as a function of time for Kr pressures between 0.2 and 6 torr. The analysis of the decay curves is interpreted in terms of transitions involving the $1s_4$, $1s_5$ levels and the ground state. The decay time for the escape of resonance radiation was measured and the radiative lifetime of the $1s_4$ level calcd. to be 4.15×10^{-9} sec. by using the theory of radiation trapping due to Holstein (*CA* 45, 10037d). Previous interpretations of the decay of metastable atoms were confirmed.

RCPJ

C.A. 1965 63-12
157359

Kr

Dow J.D., Knox R.S. 1966

Miss. Rev., 152, v1, 50-5b.

жеркии
войдущ.;
смеси
осажден.;

Военное физическое
войдущеденесих сасийод-
мий, зееркии войдущ
демид и смеси со-
исческих тюров зеи атаков

Крестьянка и Ксения

(вес. III в.)

Kr

Goleb J. A.

1966

Analyt. Chem., 38, n 8, 1059-
1061.

Аэрозоли - абсорбционные
спектры ионизированных газов
в видимой и ближней
УФ-области.

(ис. He)

J. A. P. (Ar, Kr, Xe) " 15266

XI 1245

Huffman R. E., Katayama D. H.

J. Chem. Phys., 1965, 45, n1, 138-146
passing

Photoionization study of diatomic ion formation in argon, krypton and xenon.

Aug. 1967, 50172

2

ct

Kr I

1964

59057k The spectrum of krypton, Kr I, in the extraphotographic infrared. Bruno Hernang (Univ. Lund, Swed.). *Ark. Fys.* 33(34), 471-80(1967)(Eng). The wavelengths of 100 lines of natural Kr, ranging from 10,593 to 25,848 Å., were measured by using a hollow-cathode discharge as the radiation source, and a 1-m. scanning grating spectrograph with a PbS detector. Improved values for the levels of the configurations 5s, 6s, 7s, 5p, 6p, 4d, 5d, and 4f were calcd. by means of these and other measurements. The observed structure of the 4f configuration is compared with the theoretical pair-coupling structure. Peter Ghosh

C.A. 1964-17-12

Kr

Buluggiu 8., Foglia c. 1981

Cheer. Mys. Let. , 1(3), 82.

Diatomuc molecules concentration in Ne, Ar,
Kr and Xe.



18

He, Ne, Ar, Kr, Xe (смесь газов) ^{118.} ¹⁹⁶⁷
XI-2624.

Cox H. L.

dissert. Abstz., 1967, 28 (6),
2368.

С.Р. 1968, 68, №20, 90005м. 10

Kr

Hollace Z. L.

1964

Diss. Abstr. B 28, n^o 6,
2368.

merit
zugspitze



(See He) III

Kr I (8;)

XI 1231

1967

Жернинг В.

Ак. Гус.

Ч71-80

~~1964 33 (34)~~

ЕСТЬ Ф. К.

(cp)

"10

Сл 1964

Ne, Ar, Kr, Xe (81) XI 1246 1967

Humphreys C. J., Paul E.,
Cowan R. D., Andrew L. L.,
J. Opt. Soc. Amer., 1967,

57 (7), 855-64

Spectra of the noble gases
in the 4-μ region

(9)

Ectu. Ph. K.

Oct 1967

W

Kr

Prince J. F.
Robertson W.W.

1917

J. Chem. Phys., 46, N^o 9, 3309.

Brequenosí константы
б Xe, Kr и Ne.

(cис. Xe) III

1967

A652

Li ($\text{H}, \text{He}, \text{Li}, \text{C}, \text{N}, \text{O}, \text{F}, \text{Ne}, \text{Na}, \text{Mg}, \text{Al}, \text{Si},$
 $\text{Cl}, \text{Ar}, \text{K}, \text{Ca}, \text{Ti}, \text{Fe}, \text{Cs}, \text{Kr}, \text{Xe}, \text{Cs}$)

Стреканов А.Р., Свентицкий Н.С.,

Атомиздат, М., 1966, 899 ср

Таблицы спектральных линий нейтральных и
ионизованных атомов.

10

Kr

1968

January 1968

Douglas Davis.
Walter Braun.

"Applied Optics"

1968, 7 n10 2071-74.

Intense Vacuum

Ultraviolet atomic line sources.

Kr

динамический
спектр

Newell P.B.,
O'Brien J.D.

1968

J.EEE. J. Quant. Electron.,
4, N5, 291

Динамический спектр Xe и
Kr.

(Xe. Kr) III

Dr, kg (61.)

1968
XI 639

Поликаров В.А.,

Дл. прист. Стекольщиков -
ские, 1968, 8, N5, 746·49

10

РГБ 1968:

transfugitive rays (E_i) 116nm 1968

Young R.P., Kr XI 566

U.S. Clearing house Fed. Sci. Tech. Inform.,

AD 1968, AD-680198, 134pp

Spectra of transfigurations and their
wavelengths from 2000 to 10000 Å
for rare gas atoms.

6

(continued) 10

(A, 1969, 20, f24, 110125)

Kr

Brith M., Ron A.

1969

J. Chem. Phys.
50, N7, 3045

УФ-
спектр
(агс. на
LiF)

Заданное УФ-спектро
Xe и CO, адсорбирован
на а' окиси цинка
на мелких LiF.

(агс. Xe) III

Kr

Чакисеев С.Н., и др. 1969

Кб.-еек
пачум

Изд. Акад. Наук Казах.
ССР, Серия физ.-мат.,
1969, №, №6, 53.



(Cee. Rd) III

Kr

(3)

Csavinszky P.

1969

J. Chem. Phys.,

50, N3, 1176

Приблизительное значение
коэффициента уравне-
ния Томаса - Форда
для нодометрических
ионов.

(Cs. Ne) III

Kr

Garton W.R.S.

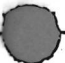
1969

et al.

Appl. Optics, 8(5), 919.

check
nowhere

(Cee. Ar) III



БР - XI - 244

1969

Кр

86

6 Д314. Точные энергии уровней и вычисленные длины волн $Kr^{86}I$. Kaufman Victor, Humphreys Curtis J. Accurate energy levels and calculated wavelengths of ^{86}Kr I. «J. Opt. Soc. Amer.», 1969, 59, № 12, 1614—1628 (англ.)

Проведен анализ измерений длин волн 233 переходов в спектре $Kr^{86}I$, проделанных за последнее десятилетие в нескольких лабораториях. Обсуждены отклонения, возникающие из-за различий условий возбуждения спектров. С помощью усредненных значений длин волн методом наименьших квадратов построен энергетический спектр $Kr^{86}I$ из 45 четных и 66 нечетных уровней, определяемых с точностью 0,0001—0,0015 cm^{-1} . Приведены вычисленные значения длин волн 530 переходов между этими уровнями, рекомендуемые в качестве вторичных стандартов.

К. Н. Кошелев

09. 1970.

69

1969

37225q Accurate energy levels and calculated wavelengths of
 ^{86}Kr I. Kaufman, Victor; Humphreys, Curtis J. (Nat. Bur. of Stand., Washington, D.C.). *J. Opt. Soc. Amer.* 1969, 59(12), 1614-28 (Eng). A total of \sim 240 spectral lines of ^{86}Kr I has been measured interferometrically during the past decade. Some have been measured in only 1 lab. while others have been measured in as many as 12. On the whole, the agreement is good, but some discrepancies appear. For this work, almost all of the wavelengths have been averaged and used for the detn. of a best set of energy-level values for this isotope of Kr. Forty-five even and 66 odd levels have been calcd. by the method of least squares, with uncertainties ranging from ± 0.0001 to ± 0.0016 cm^{-1} . These interferometrically detd. levels have, in turn, been used to calc. a completely consistent set of wavelengths that are preferable to any single set of measurements of avs. of measurements of ^{86}Kr I. The list of 530 lines contains only those calculable transitions that have been observed from Kr sources in the spectral region 3300-40,700 Å. With the exception of a no. of weak lines and some close pairs, the final list of wavelengths is recommended for consideration for adoption as secondary standards.

RCKX

C.A.

1970

72.8

Kr

neuperrorb.
mercep

Meiners & et al. 1969

Jut. Conf. Phenomena
Ioniz. Gases, Contrib.
Pap., 9th 1969, 582.



(See. Dr) III

1969

K4

Moore Ch. 8.

Библиограф.

Nat. Bur. Stand (US),
Spec. Publ., 1969,
N306-9, 54

[Ex. Cr] III

Kr

Morlais M. et al.

1969

C. r. Acad. sci., 269(24),
B1923

Приемление сократиров
лений Xe и Kr в обр.
1150-1500 ° в присутст-
вии... посторонних
вещей. (см. Xe) III

1970

Kr 86

6 Д315. Интерферометрические исследования спектра Kr⁸⁶. Humphreys Curtis J., Paul Edward J. г. Interferometric observations in the spectra of Kr. «J. Opt. Soc. Amer.», 1970, 60, № 2, 200—205 (англ.)

Собраны результаты интерферометрич. исследований спектров Kr⁸⁶ I, сделанные различными авторами. Приведены значения длин волн и волновых чисел классифицированных переходов от 3425 до 9859 Å фотографируемой области и от 11 819 до 28 655 Å ИК-области. Собраны также значения интерферометрич. измерений длин волн и волновых чисел для Kr⁸⁶ II в области от 3632 до 4847 Å. Указываются необходимые поправки к опубликованным в «Энергиях атомных уровней».

В. Я. Заславский

09. 1970.

69

⁸⁶Kr I

1970

i) 4 Д281. Измерение ⁸⁶KгI длин волн при микроволновом возбуждении в безэлектродной лампе. Eriksson Karl B. S., Norgén Göran. Measured ⁸⁶KгI wavelengths for a microwave-excited electrodeless lamp. «Phys. scr.», 1970, 1, № 5—6, 247—250 (англ.)

В безэлектродной лампе при микроволн. возбуждении (2,34 Ггц) измерены интерферометрич. методом длины волн переходов ⁸⁶KгI в области 5000—10 000 Å. Точность измерений $\pm 6 \cdot 10^{-5}$ Å.

Ф. 1971. 48

Kr

1970

2 Д312. Температурная функция возбуждения некоторых спектральных линий Kr. Petrakiev A., Vögl T. Excitation temperature functions of some Kr spectral lines. «Acta phys. pol.», 1970, A 37, № 4, 487—490 (англ.)

Вычислены зависимости интенсивностей 8 спектральных линий Kr I, Kr II, Kr III и Kr IV от темп. в интервале 10^4 — $7 \cdot 10^4$ ° К в условии локального термодинамич. равновесия при полном давлении плазмы 1 атм. Результаты расчета табулированы; приведены графики ф-ций возбуждения, нормированных на единицу.

Ю. В. Сидельников

Температ.
оргия
воздушн.

09. 1981.

220

Kr

Evergreen R. W.

1941

Strelak D. J.

Int. J. Quant. Chem.

1941, 5, Symp. N.Y., 55-75

paeium



(Ces. He) III

Kr

1971

1971 № 23. Проявление автоионизационных состояний при ионизации криптона электронным ударом. Los sing F. P., Emmel R. H., Giessner B. G., Meissels G. G. Manifestation of autoionizing states in the ionization of krypton by electron impact. «J. Chem. Phys.», 1971, 54, № 12, 5431—5433 (англ.)

ионизация
Измерена зависимость эффективности ионизации атома криптона электронным ударом от энергии электронов. Полуширина энергетич. распределения электронов в пучке составляла 0,2 эв, что позволило обнаружить несколько первых максимумов, соотв-щих автоионизаци- состояниям атома Kr. Идентификация этих состояний выполнена на основании спектроскопич. данных.

А. Зембеков

X·1971.23

Kr

1972

(J)

Bogdanov R.V.

Radiotekhnika 1972, 10(5), 744-5.

• (see. Ne; III)

1972

KrXeGroupsno ready.

92396d Absorption spectra of krypton and xenon in the wave-

length range 330–600 Å. Codling, K.; Madden, R. P. (Inst. Basic Stand., Natl. Bur. Stand., Washington, D.C.). *J. Res. Nat. Bur. Stand., Sect. A* 1972, 76(1), 1–12 (Eng). A total of 153 Kr resonances in the spectral region 330–500 Å and 253 Xe resonances in the spectral region 375–600 Å are reported. A detailed listing of the resonances is given, with wavelength and line shape information. The anal. of the spectra is very incomplete and will require detailed theoretical calcn. to significantly improve it. In Kr, 45 resonances and in Xe, 56 resonances were grouped into probable Rydberg series, for which classifications are suggested. The resonances are due, in the main, to either the excitation of the inner subshell "s" electrons ($s^2p^6 \rightarrow sp^6np$) or the excitation of 2 of the outer "p" electrons simultaneously ($s^2p^6 \rightarrow s^2p^4nl^2l'$). These high-lying excited states autoionize, resulting in resonances with window-, asymmetric-, or absorption-type profiles. Where possible, comparisons are made with previous work.

C.A. 1972. 76.16

Ar

1972

Kr

Xe

hapae.

prostiegete

77463e Thermal expansions of solid argon, krypton, and xenon above 1°K. Tilford, C. R.; Swenson, C. A. (Inst. At. Res., Iowa State Univ., Ames, Iowa). *Phys. Rev. B* 1972, [3]5(2), 719-32 (Eng). A differential parallel-plate capacitance dilatometer was used to measure the linear thermal-expansion coeffs. of free-standing samples of solid Ar (1-35°K), Kr (1-45°K), and Xe (1-105°K). The present data for Ar and Kr are systematically larger than existing x-ray lattice-parameter data above 20°K by a const. proportionality factor which varies from 1 to 3% for different runs and different samples and which most likely is due to bonding of the samples to the capacitor plates. These data have been normalized by using the x-ray results. The Xe results agree with other published data without the use of a scale factor. Temp.-dependent Grueneisen parameters γ are calcd. for these solids using available thermodynamic data. These calcns. give $\gamma_0 = 2.7 \pm 0.1$ for Ar, 2.67 ± 0.07 for Kr, and 2.5 ± 0.1 for Xe, with the major uncertainty occurring through the bulk-modulus data.

C.A. 1972 · 76 · 14

KM

КУ - 1257

1973

11 Д583. Спектры фотопоглощения Kr и Xe в областях автоионизации. Carter Virginia L., Hudson Robert D. Absorption spectra of krypton and xenon in their regions of autoionization. «J. Opt. Soc. Amer.», 1973, 63, № 6, 733—735 (англ.)

Записаны спектры фотопоглощения Kr и Xe в области автоионизационных переходов с разрешением

0,04 Å. В качестве просвечивающего источника использован хоп菲尔довский континуум периодического электрич. разряда в гелии. При обработке формы контуров резонансов внесена поправка на аппаратную ф-цию. В сечении фотопоглощения для Kr в области 840—880 Å четко разрешаются 9 членов серии $(4p)^5ns'$ и 30 членов серии $(4p)^5md'$. Для Xe в диапазоне 918—990 Å разрешены члены 4—11 серии $(5p)^5ns'$ и члены 12—25 серии $(5p)^5md'$. Библ. 11. В. Александров.

Х. 1973 № 11

(+) (X)

Kr I

Y-301

1973

Ei; J.
i ; i

-) 117234f Ionization potential and the $4s4p^6nl$ levels of krypton-
 86 (Kr I). Chaghtai, M. S. Z.; Hassan, V. (Phys. Dep.,
Muslim Univ., Aligarh, India). *J. Phys. B* 1973, 6(3), 433-5
(Eng). The ionization potential of $^{86}\text{Kr I}$ is $112,925 \pm 10 \text{ cm}^{-1}$.
From possible series perturbations, the 2 5s, the 4 5p, and 4 4f
levels belonging to the parentage $4s\ 4p^6$ were calcd.

C.A. 1973. 78, N18

Kr I

1973

(3)

7 Д37. Потенциал ионизации и $4s4p^6nl$ уровни атома ^{86}KrI . Chaghtai M. S. Z., Hassan V. The ionization potential and the $4s4p^6nl$ levels of ^{86}KrI . «J. Phys. B: Atom. and Mol. Phys.», 1973, 6, № 3, 433—435 (англ.)

С помощью аппроксимации расположения линий в спектре излучения ^{86}KrI сериальной ф-лой Ритца с трехпараметрич. зависимостью квантового дефекта от величины терма вычислен потенциал ионизации атома: $112\,925 \pm 10 \text{ см}^{-1}$.

Г. А.

4-301

qp. 1973. N7

31031.4511

TE, Ph, Ch

K₂

1973

1974

40892

Gehanken_Aharon, Raz Baruch,
Jortner Joshua.

Emission spectra of homonuclear diatomic rare gas molecules in solid neon.

"J. Chem. Phys.", 1973, 59, N 4, 1630-1633
(англ.)

0993 ГИК

973

975

426

ВИНИТИ

Kr ⁴⁴

1973

A-2710

MAKITA T., et al.

Ae

Mass spectrosc., 1973, 21,
N 4, 293-301.

IX-5730.

1974

H, Li, C, Na,

K₂, K⁻, Li⁻, O⁻, Mg⁺, S²⁻, Cu⁺, Si⁺, Tl⁺, B₂^t_g
(A к прошому)

Балбский В. Е., Чжанайлов Р. Н.

Ж. общей химии, 1974, 44(10),

2297-9

40

41014.8731

Ch, Ph, TC, MGU

40892

02

1974

Kr

* 4-6829

Bromberg J. Philip.

Absolute differential cross sections of electrons elastically scattered by the rare gases. I. Small angle scattering between 200 and 700 eV.

"J. Chem. Phys.", 1974, 61, N 3, 963-969

(англ.) 0211 пик

181 181

220 3

ВИНИТИ

40527.7237
Ph, Ch, TC

Kr 30526 12
номенклатурное
издание

1974
* 45010

Gough D.W., Smith E.B., Maitland G.C.

The pair potential energy function for
krypton.

"Mol. Phys.", 1974, 27, N 4, 867-872

(англ.)

Оригинал !

095 099 : 08

ВИНИТИ

1974

Kr
N₂

пороговые
энергии
спектров
возбужд.

9. 1974. № 8

8 Д282. Пороговые энергии спектров возбуждения электронным ударом, измеренные автоматизированным методом задерживающей разности потенциалов. Hribin-Franklin M.-J., Heinesch J., Collin J. E. Threshold energy electron impact excitation spectra using an automated retarding potential difference method. «Int. J. Mass Spectrom. and Ion Phys.», 1974, 13, № 2, 131—137 (англ.)

Описана автоматич. система, предназначенная для измерения методом задерживающей разности потенциалов энергетич. спектров возбуждения молекул электронным ударом. Медленные электроны регистрировались по току ионов SF₆⁺. Установка управляется системой так, что автоматически определяется разность ионных токов Δ , соответствующая изменению (при заданной энергии E электронов) задерживающего потенциала на величину ~0,05 эв, и может быть получена зависимость Δ от E . Эта кривая запоминается. В качестве примера приведены спектры возбуждения 5s-электронов Kr и полосы B³P_g—X'Σ_g-перехода N₂. В случае N₂ отчетливо просматривается колебательная структура. Ю. Н. Беляев

+1

17

Kr

1974

3 Г2. Определение заселенности атомных состояний метастабильного криптона в смеси Kr—Br₂. Persin A., Henc-Bartolic V., Soldo D., Eman B. Determination of the atomic-state population of krypton metastables in a Kr—Br₂ mixture. «3rd Int. Conf. Gas Discharge», 1974. London, 1974, 630—633 (англ.)

*плотн.
заселенни*

Определялась плотность заселенности метастабильных уровней 5s Kr при двух различных парциальных давлениях Br. Метод, использованный в работе, основан на самопоглощении линий Kr в газоразрядной трубке. Полученные результаты иллюстрируются графиком зависимости плотности состояния для двух длин волн от разрядного тока при двух парциальных давлениях Br. График, построенный при давлении брома $P_{Br_2}=0$, совпадает с ранее полученными результатами для чистого Kr. Уменьшение плотности состояния с увеличением давления брома подтверждает тот факт, что при столкновениях второго рода метастабильных атомов Kr в состоянии 5s с Br в основном состоянии Kr переходит в основное состояние, а Br возбуждается до состояния 5p.

Н. Л. Илькова

Ф 1976 № 3

40521.3736

Kr 96961 02

1974

Ch, Ph, TE, MGU

*45143

Streett W.B., Staveley L.A.K. A corresponding-states examination of the equations of state of liquid argon, krypton, and xenon. "Physica", 1974, 71, N 1,

51-65

(англ.)

ОГИББХ

092 093

ВИНИТИ

1974.

Km

Roetti C., Clementi E.,
J. Chem. Phys., 1974,
61, N5, 2062-63.

$\gamma_i E_i$
pacem

(ces. di; III)

Ar, Kr, Ne, Xe, He (Ei). XI 4155 1974.

Yakozawa M., Matsuzaki H.,
Kamegaya T., Nakajima M.,
J. Opt. Soc. Amer., 1974, 64(3),
396-7.

Grotian charts for atoms and
ions of rare gases.



C.A. 1974. BD. N24. 138736e.

to 8

50923.3725

Ph, Ch, TC, MGU

96965

K γ

1975

* 9-9755

Dham_K., Gupta S.C. Force constants
for unlike molecules. "Phys. Lett.",
1975, A53, N 6, 485-487

(англ.)

0450 пик

436 438 4 4 2

ВИНИТИ

1975

*Kr**Kr₂⁺**monomers**qp - quart*

65853p Angular momentum coupling, potential curves, and radiative selection rules for heavy diatomic molecules, with particular reference to diatomic krypton and diatomic krypton(+). Barr, T. L.; Dee, Diana; Gilmore, F. R. (R and D Assoc., Santa Monica, Calif.). *J. Quant. Spectrosc. Radiat. Transfer* 1975, 15(7-8), 625-35 (Eng). The potential-energy curves for Kr₂ and Kr₂⁺ were constructed, and the selection rules for elec.-dipole transitions in Kr₂ were obtained by using the method of R. S. Mulliken (1970) and by applying the principles of: (a) the coupling of electronic orbital angular momentum, spin, and mol. rotation of diat. mols.; (b) the symmetry properties of diat. wave functions; (c) the building up of mol. electronic states from states of the sepd. atoms, from states of the united atom, and from MO's; and (d) allowed and forbidden radiative transitions in diat. mols.

(71)

☒

C.A. 1975, 83, N8

Kr

1975.

commencé 5/11/66

Birot A.

Brunet H, et al.

keenhep.
yqr. usys.

J. Chem Phys 1975,
63(4) 1469-73 (csg)

(all Δ^2 ; $\overline{111}$)

60113.75261

НК-АН/РГР-3.

Ph, TC

411588

1975

K_r (смср) № 45-11148

Donnelly K.E., Kindlmann P.J., Bennett W.R., Jr. Radiative lifetimes and collisional deactivation rates of levels in the $4p^4 5p$ configuration of singly ionized krypton. "J. Opt. Soc. Amer.", 1975, 65, N 11, 1359-1365. (англ) 323 стр

511 512

520

ВИНИТИ

Kz

(A-3105)

1975

Fzaga S., et al.

(J)

Can. J. Phys., 1975, 53,
N 21, 2415-20.



(acu Zr; III)

51230.6616

Ch, Ph, TC

K_X / Ei)
K_X 2⁺ (A.P.)

1975

445-10867

Johnson L.P., Morrison J.D. Double ionization to low-lying states of the doubly-charged rare gases. "Int. J. Mass Spectrom. and Ion Phys.", 1975, 18, N 4, 355-366

(англ.)

0531 ник

497 502

323

ВИНИТИ

1975

Kr

(Ei)

177463x Auger spectra of the noble gases: Krypton
 McGuire, Eugene J. (Sandia Lab., Albuquerque, N. M.)
Phys. Rev. A 1975, 11(1), 17-25 (Eng). The Auger single-vacancy and satellite spectrum for Kr was calcd. For single-vacancy $M_{4,5}-NN$ spectra, the calcd. are in agreement with expt. only if certain levels in KrIII are reassigned. The level at $171,997 \text{ cm}^{-1}$, attributed in Moore's tables to $^3D(4d)^1P_1$, is assigned to the missing 3P_1 term, and the 3P_0 located at $196,500 \text{ cm}^{-1}$. These reassessments are consistent with expected configuration-interaction effects. As a result, a low-energy doublet in the Kr $M_{4,5}-NN$ spectrum is identified as the $M_{4,5}-N_1N_1$ transition, in agreement with recent energy calculations. Calcd. were made to reproduce the obsd. satellite spectra $(3d)(4p) \rightarrow (4p)^3$ and $(3d)(4p) \rightarrow (4s)(4p)^2$, with both a statistical distribution of shakeoff and Auger decay of $3p$ vacancies.

C.A. 1975, 82, N26

population mechanisms for the $(3d)(3p)$ configuration. For the $(3d)(4p) - (4p)^3$ calens, with an initial $(3d)(4p)$ population distribution from Auger decay of $3p$ vacancies, were in excellent agreement with expt., while the statistically distributed shakeoff hypothesis leads to relatively poor agreement. For the $(3d)^2(4s)(4p)^2$, neither calen. is in agreement with expt., because the neglect of configuration interaction. The summed calculated intensity appears to agree with the summed measured intensities for an initial $(3d)(4p)$ population produced by Auger decay of $3p$ vacancies. Statistically distributed shakeoff leads to a summed calculated intensity far in excess of the summed measured intensities. Statistically distributed 'shakeoff' must have a probability significantly $< 5\%$, in contrast to recent calens. indicating no shakeoff.

Одномер 3235

1975

Kr

H₂(A⁺_H)

+1



(+2) кр, д6
ф. 1975 № 11

11 Д224. Определение сродства к протону по кинетике реакций передачи протона. V. Равновесие $H_3^+ + Kr \rightleftharpoons KrH^+ + H_2$ и относительная величина сродства к протону Kr и H₂. Raýzant J. D., Schiff H. I., Bohme D. K. Determination of the proton affinity from the kinetics of proton transfer reaction. V. The equilibrium $H_3^+ + Kr \rightleftharpoons KrH^+ + H_2$ and the relative proton affinity of Kr and H₂. «J. Chem. Phys.», 1975, 63, № 1, 149—153 (англ.)

С помощью струевой аппаратуры изучалась равновесная реакция $H_3^+ + Kr \rightleftharpoons KrH^+ + H_2$ при т-ре $296 \pm 2^\circ K$. Для констант скорости в прямом и обратном направлениях получены нижние пределы, соответственно равные 10^{-10} и $10^{-11} \text{ см}^3/\text{сек}$, а для константы равновесия — величина 17 ± 3 . Это соответствует $\Delta G_{296} = -1,67 \pm 0,12 \text{ ккал/моль}$ и ведет к разности величин сродства к протону $A(H_2) - A(Kr) = -0,017 \pm 0,012 \text{ эв}$. Обсуждаются влияние процесса диффузии на эксперим. данные. Ч. IV см Fennelly P. F., Hemsworth R. S., Schiff H. J., Bohme D. K., «J. Chem. Phys.», 1973, 59, 6405. Г. К.

50326.1250

Ph, TC, MGU

января 1975
42529-6824 1975

Kr

*4-8392

Weigold E.-J. - Hood S.T., McCarthy I.E.

Structure of inert gases from the (e , $2e$)
reaction.

"Phys. Rev. A:Gen. Phys.", 1975, 11, N2,
566-575

(англ.)

0331 пик

303 306, 2.?

ВИНИТИ

Kr

1976

Ar

(from notes,
9/1-9/28)

85: 99362j The determination of intermolecular potential energy functions from isotopic thermal diffusion data.

Clancy, P.; Smith, E. B. (Phys. Chem. Lab., Univ. Oxford, Oxford, Engl.). *Physica B + C* (Amsterdam) 1976, 83 B+C(2), 231-6 (Eng). Previously described (D. W. Gough, et al., 1973; C. Maitland and S., 1972) methods were used to obtain an inversion technique for directly relating the thermal-diffusion data on gases to an intermol. potential-energy function. A test of the accuracy of the method by using simulated data gave results to within 1% in the intermol. distance of the potential function used to generate the data. Application of the method to Ar and Kr gave potential functions in good agreement with those previously established (G., et al., 1974; M. and S., 1971, 1973).

(+1 adaq.

(+1

X

C.A. 1976 85 n14

18

Kr

1976

Bobetic M. V.

Barker J. A.

(кач. упаковк)

J. Chem Phys 1976,
64(6) 2357-9 (eng)

(cu He₂; \overline{m})

Kr

Pelikanov P.

1976

"Mol. Phys" 1976, 32, n2,
(7) 587-590 (amu)

(amu Zn; III)



KZ

1976

Sharma R.C.

Chem. Era "1976, 12
vH, 412 - 413 (aww)



(cell He, $\text{^3}\text{He}$)

70812.19

TC, Ph

K2/ 30063

1977

Ikl. Иж. пат. № 5321

Ahlberg Ragnar. Comments on pa-
rametrized sum-rule functions and C₆
constants. "J. Phys. B: Atom. and Mol.
Phys.", 1977, 10, № 3, 385-390 (англ.)

0940 НУК

854 859 934

ВИНИТИ

Kr

Bondy bey V. E.,
Miller Terry A.

1977

сауерк.
боубунов.

"J. Chem. Phys.",
1977, 66, n8, 3337-3342.



(acc. He) III

КЧ

19.94

1Д51. Сечения фотоионизации возбужденных состояний Ar и Kr. Нутан Н. А. Photoionization cross sections for excited states of argon and krypton. «Appl. Phys. Lett.», 1977, 31, № 1, 14—15 (англ.)

Вычислены сечения фотоионизации возбужденных nS - и np -состояний атомов Ar ($n=4$) и Kr ($n=5$). Использовалось одноэлектронное приближение. Волн. ф-ции находились как решения ур-ния Шрёдингера с потенциалом, состоящим из потенциала иона, построенного на аналитич. ф-циях Клементи и Розетти, и поляризационной поправки вида $\alpha/(r^2+r_0^2)^2$. Поляризуемость α находилась путем масштабного преобразования известных поляризуемостей щелочных ионов и галогенов. Се-

спектр
фотоиониз.



9. 1978, VI

чения $4p$ - и $5p$ -состояний указанных атомов в целом на несколько порядков больше, чем σ $4s$ - и $5s$ -состояний. Последние около порога обращаются в нуль, подобно сечениям атомов щелочных металлов. Работа предприятия в связи с исследованием процессов, происходящих в KrF-лазерах, генерирующих при $\lambda = 2486 \text{ \AA}$. Для этой длины волны получены следующие значения σ (в см^2): для $\text{Ar}(4s) 2,1 \cdot 10^{-20}$, $\text{Ar}(4p) 4,3 \cdot 10^{-18}$; $\text{Kr}(5s) 1,3 \cdot 10^{-19}$, $\text{Kr}(5p) 4,5 \cdot 10^{-18}$. Е. П. Смирнов

1977

Kr

87: 191511w Study of the vacuum-UV spectrum of a supersonic krypton jet excited by an electron beam. Verkhovtseva, E. T.; Katrunova, E. A.; Ovechkin, A. E.; Fogel, Ya. M. (Phys.-Tech. Inst. Low Temp., Kharkov, USSR). *Chem. Phys. Lett.*, 1977, 50(3), 463-7 (Eng). The vacuum-UV spectrum of a Kr supersonic jet excited by an electron beam was studied. Three continua with intensity maxima at $\lambda = 1250$, 1480 and 2260 Å were obsd. in the spectral region 1100-2300 Å. Two of them at $\lambda = 1250$ and 2260 Å originate mainly in the electron bombarded at. matrix of the jet. The source of the 1480 Å continuum is the cathodoluminescence of heavy clusters, droplets and microcrystals existing in the Kr jet at sufficiently low temps. The emission obsd. in the vicinity of the Kr resonance lines is tentatively identified.

bakyyar.
y. g. chenip

C.A. 1944, 87, N24

K₂

ommunic 6746 1978

Grosse H., et al.

Acta Phys. Austriaca

1978, 49, 89-112

Lower Bounds to the
Energy ● Levels ..

1978

Kr

89: 204332g Interatomic potentials for krypton. Jain, P. C.; Pandya, T. P. (Natl. Phys. Lab., New Delhi, India). *J. Sci. Ind. Res.* 1978, 37(4), 183-6 (Eng). A review with 25 refs. is given on the existing interat. potential energy functions for describing the transport and equil. properties of Kr.

Meeram Delli.

nomesyscal

C.A. 1978, 89, N24

K₂

(ommuchi 7159) 1978

Amoach.

Pant et al., et al.

cb-be,

Phys. Lett., 1978,

T. naseku-

'zyewoo' A68, 154-156.

Kr

1979

Bonifield T.D., et al.

envelope
logistics
reactions,
etc

Bull. Amer. Phys. Soc.
1979, 24 (2), p 13?

Time Resolved Spectroscopy
of Krypton ● and Xenon ...
(exc. Xe; III)

Kr

9 Д309. Экспериментальное исследование спектров криптона. Baessler P., Obbagius H.-U., Schulz-Gulde E. Experimental investigation of krypton spectra. «Physica», 1979, BC96, № 1, 147—154 (англ.)

Исследованы спектры Kr I и Kr II, возбуждаемые в стабилизированной дуге. Дуга, имевшая канал диаметром 4 мм полной длиной 8,45 см, при спектроскопич. исследованиях наблюдалась либо по оси, либо в перпендикулярном направлении. Наполнение дуги осуществлялось либо Kr при атмосферном давлении, либо смесью Kr и He, ток 20—100 а. В качестве стандарта излучения использовалась угольная дуга. Электронная плотность в интервале $5 \cdot 10^{15}$ — $1,9 \cdot 10^{17}$ см⁻³ определялась с ошибкой 4—6% из лазерных интерферометрич. измерений рефракции плазмы в двух длинах волн 632,8 и 1152,3 нм. Это позволило с высокой точностью измерений полных коэф. эмиссии плазмы найти т-ру в предположении локального термодинамич. равновесия. В результате получены вероятности переходов 4 линий Kr I с ошибкой $\pm 20\%$ и 6 линий Kr II с ошибкой $\pm 30\%$, расположенных в области 430—790 нм. Найдена также постоянная штарковского уширения линии 450,2 нм в Kr I. Библ. 25.

А. Н. Рябцев

спектр

Ф. 1979 №

Kr.

1979

annexum 8469

(y)

"
Brăndus L.
Rev. roum. phys.,
1979, 24, (6), p.559-60.

7979

Ку

2 Д274. Изотопический сдвиг линии в ближней ИК-области в дуговом спектре криптона. Isotope shifts in the near infrared lines of the arc spectrum of krypton. Jackson D. A. «J. Opt. Soc. Amer.», 1979, 69, № 4, 503—511 (англ.)

В 14 линиях в области 7500—8800 Å в дуговом спектре Kr с точностью $(0,01—0,04) \cdot 10^{-3}$ см $^{-3}$ измерены изотопич. сдвиги 5 четных естественных изотопов криптона. Сдвиги приблизительно пропорциональны массовым сдвигам, за исключением 84—82 сдвига, который на $0,2 \cdot 10^{-3}$ см $^{-1}$ меньше сдвигов других четных изотопов. Сдвиг нечетного изотопа 83 был измерен по 5 из этих линий. Сдвиги 8 линий переходов типа $5p - 5s[3/2]2$ и $5p' - 5s'[1/2]1$ — очень близки, имеют порядок боровского сдвига и на 75÷95% больше. 6 линий переходов $5p - 5s[3/2]2$ и $5p' - 5s'[1/2]0$ также имеют почти равные сдвиги, близкие к боровским, но превышающие их лишь на 15—25%. Расхождение в $(1,2) \cdot 10^{-3}$ см $^{-1}$ в сдвигах двух групп линий в четных изотопах связано в основном с специфическим массовым сдвигом.

Резюме

дуговой
спектр,
крайний
свет
спектр

Ф.1980.12

152

1979

Zamir Ehud, et al.

IIEEE J. Quant. Electron.
1979, 15, N5, 281-88.

mekanizm
naukowicz.

coll. off - 11

⁸³Kr

Lommel 9379!

1979

Pushpalata B.R. et al.

квадрн.

кофет.

бзансис.

$^3P_1 - ^1P_1$

Indian J. Phys., 1979,
B53, 80-84

Kr

ommara 7734

1979

Salamero Y., et al.

Cuerpos.

J. Phys. B: Atom. Mol.
Phys., 1979, 12 (3), 419-25

Kr

1973

Talman J. D., et al

pacrem

$E_i; E;$

noespuz.

Int. J. Quantum Chem.,
Quantum Chem. Symp.,
1979, n13, 67-76.



• can Be;^{III}

Kr

January 8218

1979

(y)

90: 212614m Absorption spectrum of krypton in the vacuum UV region. Yoshino, Kouichi; Tanaka, Yoshio (Harvard-Smithsonian Cent. Astrophys., Cambridge, Mass.). *J. Opt. Soc. Am.* 1979, 69(1), 159-65 (Eng). The absorption spectrum (840-1240 Å) of at. Kr was investigated with a 6.65-m vacuum spectrograph. The expected $5\ ns$ and nd Rydberg series were obsd. The series was extended as far as $n = 60$ for nd $(3/2)^o$ and $n = 59$ for nd $(3/2)^o_1$. The ionization energies obtained are $112\ 914.6 \pm 0.1\ cm^{-1}$ and $118\ 284.6 \pm 0.2\ cm^{-1}$ for $P^o_{3/2}$ and $^2P^o_{1/2}$ states of Kr II, resp. Strong interactions were obsd. as perturbations and autoionization; a graphical multichannel quantum defect anal. of the obsd. energy levels is presented.

C.A. 1979, 90, N2B

Kz

10 Д327. Спектр поглощения криптона в вакуумном УФ-диапазоне. Yoshino Kouichi, Tanaka Yoshiro. Absorption spectrum of krypton in the vacuum uv region. «J. Opt. Soc. Amer.», 1979, 69, № 1, 159—165 (англ.)

спектр поглощ.

(5)

9.1979.№5

Проведены исследования спектра поглощения криптона в ВУФ-диапазоне. Непрерывный континuum создавался в диапазоне длин волн $\lambda < 1070 \text{ \AA}$ с помощью разряда в газообразном He, а в диапазоне $\lambda > 1070 \text{ \AA}$ — разрядом в Ar. Поглощающая ячейка с Kr находилась при т-ре 77° К. Спектры фотографировались в диапазоне длин волн 840—1240 \AA с помощью вакуумного 6,65-м спектрографа норм. падения Мак-Ферсона модели 265 во втором порядке решетки с 1200 штрих/мм. Время экспозиции при входной щели 0,010 мм составляло 15—120 мин и зависело от области регистрации. Спектры CO и CuI, CuII использовались для калибровки длин волн. Точность измерения длин волн лучше, чем 0,002 \AA . Идентифицировано 194 спектральные линии, принадлежащие 5 ридберговским сериям. Серии исследовались до $n=60$ для $nd(3/2)_1^0$ и $n=59$ для $nd'(3/2)_1^0$. Определена энергия ионизации для ${}^2P_{3/2}^0$ ($112914,6 \pm 0,1 \text{ см}^{-1}$) и ${}^2P_{1/2}^0$ ($118284,6 \pm 0,2 \text{ см}^{-1}$) состояний иона Kr II. Библ. 18.

А. Ф.

15/7/8

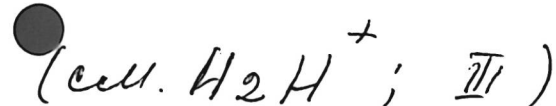
8.11.1979

спектр поглощ.

K₂

1980

согласно Bohme D.K., et al.
к
литературе J. Chern. Phys., 1980,
1986, № 73, 4976 - 4986.



Kr

Lemmerling 9080

1980

Bonifield T. D; et al.

Chem. Phys. Lett.; 1980, 69(2)
290 - 296

Production and decay of the ..

$K\alpha ({}^3P_2)$ Lommel 10729 | 1980.

Diebold S.Y; et al.

спектр, ЭПР

концентрац.

Chem. Phys., 1980, 52,
453 - 460

1980

Kr

94: 92810f Experimental transition probabilities of 5s-np ($n = 5, 6$) transitions of krypton. Fonseca, Victoria; Campos, Jose (Fis. At. Nucl., Ciudad Univ., Madrid, Spain 3). *J. Phys. B* 1980, 13(20), 3957-67 (Eng). The lifetimes of the $5p^{(5/2)}_2$, $6p^{(5/2)}_3$, and $6p^{(1/2)}_1$ levels of Kr were measured using the delayed coincidence method. Relative transition probabilities for 8 5s-5p lines, 27 5s-6p lines, and abs. values for 6 5s-5p transitions are given. The results are compared with other exptl. and theor. values.

fmn

C. A. 1981 GY 112

1980

Kr

кривые
иониз.

21. 7.7.

7 Д185. Кривые эффективности ионизации Kr и Xe электронным ударом вблизи порога. Electron-impact ionization efficiency curves of Kr and Xe near the ionization threshold. Hashizume Akio, Wasada Nobuhide. «Int. J. Mass Spectrom. and Ion Phys.», 1980, 36, № 3, 291—299 (англ.)

Измерены относительные кривые эффективности ионизации Kr и Xe электронным ударом в области энергий до $\sim 1,5$ эВ выше порога. Тонкая структура сечения ионизации определялась по первой производной кривой эффективности ионизации. При использовании ф-лы Ридберга для зависимости энергии E от главного квантового числа n : $E = E_\infty - R/(n-\mu)^2$, где μ — значения квантового дефекта, принятые для s' , p' , d' -серий состояния $^2P_{1/2}$ подобными известным значениям для s , p , d -серий состояния $^2P_{3/2}$, проведена идентификация наблюдающейся сложной структуры для $n=6-12$ и дано сопоставление теоретических и наблюдаемых максимумов (ширина ф-ции распределения пучка электронов 0,05 эВ). В. Н. Сошников

оп. 1981. N7

Kry.

Lommeca 1056# | 1980

Jackson D.A.

Угайони.
настоли.
чукча

J. Opt. Soc. Amer.,
1980, 70 (9), 1139-1144.

Kiv.

Lomassaceae 9317 1980

Circums.

pre-species.

Nitzan A.

J. chim. phys. et phys.-
chim. biol., 1980, 74(1)
51-54.

Kr

1981

6 Д39. Теоретическое изучение связанныго нечетного спектра нейтрального криптона. Theoretical investigations on the bound odd-parity spectrum of neutral krypton. Аутаг М., Робаух О., Томас С. «J. Phys. B: Atom. and Mol. Phys.», 1981, 14, № 22, 4255—4270 (англ.)

Для исследования спектра нейтрального криптона с $J=0, 1, 2, 3$ применен метод многоканального квантового дефекта, а для получения дополнительной информации о тонкой структуре — обыкновенный полуэмпирический расчет, в котором интегралы Слэттера использованы в качестве подгоночных параметров. Подробно описаны методика расчета и результаты исследования. Идентифицированы все новые высоковозбужденные серии Ридберга. Определены энергии ранее неизвестных уровней и получены новые значения потенциалов инициализации.

В. Тутлис

xi, 9

Ф. 1982, 13, №.

Kr Omnuck 13231 1981

Christiansen P. A.,

Pitzer K.S., et al.,

Ioppeki
rotors.,
Rb. mix.
paeceli.

J. Chem. Phys., 1981, 75,
N II, 5410-5415.

Kr

1981

Pugsem
cepue

96: 60251z Optogalvanic detection of krypton Rydberg levels with a two-step pulsed laser excitation. Delsart, C.; Keller, J. C.; Thomas, C. (Lab. Aime Cotton, CNRS II, 91405 Orsay, Fr.). *J. Phys. B* 1981, 14(18), 3355-61 (Eng). An optogalvanic detection scheme, in conjunction with 2-step pulsed laser excitation, was used to investigate high-lying (Rydberg) Kr levels. The excitation scheme starts from the metastable $1s_5$ level, populated in the He-Kr discharge tube, and uses either the $2p_2$ or the $2p_3$ level as an intermediate level. The transient variation of the voltage across the discharge was detected as a function of the 2nd-step laser frequency. The energy of the levels of the odd series $nd(3/2)_2$ and $nd(7/2)_3$ were measured for $n = 15 \rightarrow 25$. Members of the even series $nf(7/2)_J$, $nf(9/2)_J$, and $np(5/2)_3$ were also identified and the corresponding energies measured. In the latter case, the excitation scheme involves a collisional excitation transfer from the laser populated intermediate levels to the closely lying $3d'_4$ level.

C.A.1982, 96, w 8

Kr

1981

7 Д319. Лазерное исследование нечетных ридберговских уровней криптона с использованием метода ионизации электрическим полем. Laser investigation of odd krypton Rydberg levels using the field ionisation detection method. Delsart C., Keller J.-C., Thomas C. «J. Phys. B: Atom. and Mol. Phys.», 1981, 14, № 22, 4241—4254 (англ.)

Si, 9

Определены энергии 187 ридберговских состояний (РС) ($n \geq 24$) криптона, относящихся к семи различным сериям, $4p^5nd$ и $4p^5ns$, причем 153 РС ($J=2$ и $J=3$) наблюдались впервые. Метастабильные атомы криптона в $1s$ -состоянии, образовавшиеся в ВЧ-разряде, формировались с помощью диафрагм в атомный пучок. В области между электродами пучок облучался излучением двух лазеров на красителях для возбуждения РС криптона в две ступени через промеж. $2p$ -состояние. Ридберговские атомы ионизовались импульсом электрич. поля, подаваемым на электроды с определенной задержкой относительно лазерного воз-

phi. 1982, 18, N 7.

буждения. Зарегистрирована тонкая структура конфигурации $(4p^5)^2P_{3/2}nd$ с разрешением лучше $0,1 \text{ см}^{-1}$. Получено новое значение для первого ионизационного предела $I = (112914,47 \pm 0,03) \text{ см}^{-1}$. Измерены значения критического ионизующего поля и времени жизни некоторых РС. В обоих случаях получены значительные отклонения от водородоподобной модели. Библ. 26.

Г. И. Беков

я р
пер

Amour

1981

Kr

98: 43116h Transition probabilities for atoms. Kim, Yong Ki
(Argonne Natl. Lab., Argonne, IL 60439 USA). Brookhaven Natl.
Lab., [Rep.J BNL 1981, BNL-28832, Workshop At. Phys. Natl.
Synchrotron Light Source, 33-42 (Eng). The current status of
advanced theor. methods for transition probabilities for atoms and
ions is reviewed. An expt. on the f values of the resonance
transitions of the Kr and Xe isoelectronic sequences is suggested as a
test for the theor. methods. 26 Refs.

fmn

⊗(4) Xe

C. A. 1983, 98, N6.

Kz.

1981

регистрирует
металлы,
спектроскопиях. 1981, 99/1, 142-8.

(ccc, Ar; $\tilde{\nu}$).

Kr

Lomnick 13166 } 1981

Proffitt M. H., et al.

Kb. neek.
pacem

Can. J. Phys., 1981, 59,
N10, 1459 - 1474.

Kz

1981

Ser K. D.

J. Chem. Phys., 1981,

эксперимент
обзор

75, N12, 5971.

(ces. Ar; III).

Kr

1981

18 Б1161. Спектроскопия ридберговских состояний криптона путем двухступенчатого лазерного возбуждения. Анализ нечетных серий путем многократного использования метода квантового дефекта. Spectroscopie des etats de Rydberg du krypton par excitation laser a deux etages. Analyse des series impaires par la methode du defaut quantique a plusieurs voies. Thomas—Carre Claudine. These doct. 3 cycle phys. atom. et mol. Univ. Paris—Sud, 1981. 83p., ill. (фр.)

Проведены спектроскопич. исследования ридберговских состояний (РС) атомов Kr* при двух способах их получения. В первом методе их получают путем двухступенчатого возбуждения двумя импульсными лазерами в атомном пучке метастабильных возбужденных атомов в состояниях $4p^55p'$, полученных в ВЧ-разряде в Kr при пониженном давл.; при этом достигаются нечетные состояния $J=0, 1, 2$ и 3 . Атомы Kr* в РС регистрируют путем ионизации в сильном электрич. поле, напряженность к-рого, необходимая для

(9)

X.1983, 19, N18

ионизации атомов Kr* с главным квантовым числом n^* , равна $[2n^*]^{-4}$ (выражена в атомных единицах). В опытах использованы импульсные электрич. поля с напряженностью $E \geq 2$ кВ/см, достаточной для ионизации РС Kr* с $n^* \geq 24$. РС Kr* с меньшими n^* регистрировали в экспериментах второго типа по опто-гальванич. эффекту в электрич. разряде в Kr, разбавленном He: импеданс разряда постоянного тока в Kr изменяется при его облучении светом с частотой резонансного перехода, что обнаруживается по изменению падения потенциала на разрядном промежутке. В опытах с атомным пучком наблюдали серии уровней ns и nd вплоть до больших значений n , что позволило уточнить значение 1-го Пт ионизации Kr. Измерены крит. напряженности электрич. поля для уровней Kr* ($nd [3/2]2$) при $n=23-52$. В опытах второго типа исследованы уровни четных серий pr и nf , возбуждаемые в процессах столкновительного переноса энергии. Теор. интерпретация полученных данных производится путем многократного использования метода квантового дефекта.

Б. Е. Скурат

Kr

1981

10 Д382. Спектроскопия ридберговских состояний криптона при двухступенчатом лазерном возбуждении. Анализ нечетных серий методом многоканального квантового дефекта. Spectroscopie des etats de Rydberg du krypton par excitation laser a deux etages. Analyse des series impaires par la methode du defaut quantique a plusieurs voies. Thomas-Carre Claudine. These doct. 3 cycle phys. atom. et mol. Univ. Paris-Sud, 1981. 83 p., ill. FR (фр.)

Рассмотрены существующие методы изучения ридберговских состояний (РС) Kr. Исследованы РС в атомном пучке Kr при двухступенчатом лазерном возбуждении и последующей ионизации электрич. полем. Рассмотрена оптогальванич. регистрация РС в разряде Kr. Проведено теоретич. рассмотрение РС криптона с использованием аппарата теории многоканального квантового дефекта.

Г. И. Беков

90, 1983, 18, N 10

Kz

Бирюков А.Г., Тихомицев-
ская В.В. и др.
1982

г. Ростов. ин-т инж. ис. г.
импакт. Ростов Н/Д, 1982,
31 с. Библиогр. 13 №136. (Рук.
изд. в ВИНИТИ 9 Ноябрь 1982 г.,
N 5515-82 Den.) (см. №; III)

Kr

Lommick 15467, off 1982

Dacre P.D.,

paorem
naptiou
konevyy-
enlochnei

Mol. Phys., 1982,
47, N1, 193-208.

Kr

1982

98: 98188p Krypton and xenon guest atoms in argon matrix: emission spectra, excitation spectra, and lifetimes. Hahn, U.; Haensel, R.; Schwentner, N. (DESY, Hamburg, Fed. Rep. Ger.), Report 1981, DESY-SR-81/08; Order No. DE82906229, 11 pp. (Eng). Avail. NTIS (U.S. Sales Only). From Energy Res. Abstr. 1982, 7(23), Abstr. No. 61849. Emission bands of isolated Kr and Xe atoms in solid Ar matrixes are assigned to at. 3P_1 and 1P_1 states on the basis of excitation and emission spectra. The temp. and concn. dependence of these spectra is used to sort out emission from distorted sites. The dependence of the lifetimes on temp. reflects the competition between radiative and nonradiative decay.

creting of
Ar lampuse

(+) Xe



C. A. 1983, 98, N 12.

K₂

1982

Herrández E., et al.

paeriu

Phys. Rev. A: Gen.

E

Phys., 1982, 25, N1,



107 - 112.

(rec. He; III)

Kr

1982

Saad S. M., Youssef A.

et al. Egypt. J. Phys. 1981

numerous.

\mathcal{N}^D

(Pub. 1982) 12 (2), 111-

- 116 .

(see. Ne; III)

Kr

Отмск 14432 1982

8 Д1396. Лазерный магнитный резонанс метастабильных атомов криптона и ксенона. Laser magnetic resonance of metastable krypton and xenon atoms. Sears Trevor J., McKellar A. R. W. «Can. J. Phys.», 1982, 60, № 3, 345—348 (англ.; рез. фр.)

Методом внутрирезонаторной спектроскопии лазерного магн. резонанса с использованием CO₂-лазера (10,6 мк) исследованы магнитные дипольные переходы в атомах Kr и Xe из метастабильных состояний 1s₅(³P₂) в состояния 1s₄(³P₁). На основе полученных спектров определены частоты переходов 1s₅—1s₄(ω) и величины g-факторов верхнего и нижнего состояний, составившие для Kr: $\omega = 945,02625 \text{ см}^{-1}$, $g(1s_5) = 1,5011$, $g(1s_4) = 1,2428$ и для Xe: $\omega = 977,61027 \text{ см}^{-1}$, $g(1s_5) = 1,5009$ и $g(1s_4) = 1,2055$. Отмечено, что точность эксперим. значений ограничена изотопич. структурой спектров и сравнима с точностью оптических интерферометрич. измерений. Библ. 19.

С. Литке

лазерный
магнитный
резонанс

④

φ 1982, 18, N8.

1982

Kr

11 Д403. Обозначение спектральных термов уровней $2p_{10}$ и $5d_5$ криптона в определении метра 1960 года.
La désignation des termes spectroscopiques du krypton et des niveaux $2p_{10}$ et $5d_5$ de la définition du mètre de 1960. Теггриен J. «Bull. Union phys.», 1982, 76, № 645, 953—960 (фр.)

Непреложимо
структуре

Обсуждаются обозначения термов и энергетич. структура атомов криптона с целью выяснения происхождения термов уровней $2p_{10}$ и $5d_5$, длина волны перехода между которыми утверждена в 1960 г. в качестве стандарта длины. Анализ термов показал, что система обозначений Пащенко неудовлетворительно описывает структуру термов криптона несмотря на схожесть спектра последнего со спектром неона. Предложено использовать для обозначения уровней криптона предложенную Рака схему LS-термов.

С. Ч.

90.1982, 18, N 11

Kr

1983

Apariro E.V., Bala-
Kai A.A., et al.

Krebs Dokl. Akad. Nauk
SSSR, 1983, 269 (2),
395-399.
1983.

(ces. Ar, III)

1983

Kr
9 Д39. Энергия атома с несколькими вакансиями в электронных оболочках. Криптон. Богданович П. О., Мирахмедов М. Н., Паримис Э. С. «Уровни энергий и вероятности переходов в атомах и ионах». М., 1983, 69—97 (рез. англ.)

Приведены усредненные по всем термам энергии 445 конфигураций атома Kr, возникающих в процессе каскадных оже- и радиационных переходов. Расчеты проведены по программе численного решения ур-ний Хартри—Фока с учетом релятив. поправок в приближении Хартри—Фока—Паули. Получены энергии конфигураций, в которых число вакансий достигало для 1s-оболочки 1, для 2s-, 2p- и 3s-оболочки 2, для 3p-оболочки 4, для 3d-оболочки 7 и для 4s-оболочки 2, для 4p-оболочки 6. Максим. число оболочек, одновременно имеющих вакансии, составляло 5. Максимальное общее число вакансий в атоме составляло 13. При помощи рассчитанных энергий рассмотрено влияние вакансий различных оболочек на энергию связи электронов.

сф. 1984, 18, № 9

гии оже- и радиационных переходов. Наблюдается, что зависимости изменения энергии связи электронов одной оболочки от кол-ва вакансий в другой примерно совпадают с такой же зависимостью для электронов второй оболочки от кол-ва вакансий в первой из них, т. е. вакансы двух оболочек взаимно одинаково изменяют энергию связи электронов друг друга. Кроме того, вакансы всех внутренних оболочек с меньшими главными квантовыми числами, приблизительно одинаково изменяют энергию связи электронов рассматриваемой оболочки. Предсказано запрещение энергии отдельных, а в некоторых случаях всех возможных оже-переходов, в некоторых многовакантных конфигурациях. Приведены примеры переходов и конфигураций, в которых они запрещены.

Автореферат

(воз)
наш

Kr

Lommuek 15978

1983

Porcем

зародыш.
ново-
зеландс-

Ghosh S.K.,

Theor. Chem. acta, 1983,
62, N 3, 209-217.

Kz

1984

Borge M. J. G., Campos J.

(fmr)

An. Fiz., Ser. A. 1984,
80(1), 49-57.

● (acc. Ne; III)

Kr

1984

(Ei)

/ 102: 102552y Allowed and forbidden $n = 2$ -2 transitions of the elements krypton and molybdenum. Glass, R. (Dep. Phys. Inorg. Chem., Univ. Western Australia, Nedlands, 6009 Australia). *Aust. J. Phys.* 1984, 37(6), 601-13 (Eng). Relativistic intermediate-coupling wave functions were used to evaluate transition energies, line strengths and transition probabilities for all allowed and forbidden $n = 2$ -2 transitions for Kr and Mo Be-like ions. The results are in very good agreement with those calcd. using the relativistic multiconfiguration Hartree-Fock approxn. These calcns. were carried out under the same phys. assumption that the dominant correlation effect is the $n = 2$ intrashell correlation. The importance is discussed of relativistic effects on the radial functions, the relativistic intermediate-coupling scheme in the variational process, the importance of radiative corrections for transition energies between states with different occupation of the 2s shell, and the relative importance of intrashell vs. intershell correlation effects.

(4) Mo

c.A. 1985, 102, N12

Kr

(Dn. 18598) 1984

6 Г447. Определение вероятностей переходов между уровнями $5p$ и $5s$ атомов криптона с помощью интерферометрических измерений в плазме в условиях локального термодинамического равновесия. Absolute transition probabilities of $5s-5p$ transitions of Kr i from interferometric measurements in LTE-plasmas. Kaschek K., Ernst G. K., Bötticher W. «Physica», 1984, BC123, № 2, 238—246 (англ.)

вероятности
переходов

С использованием метода крюков Рождественского определены абсолютные значения вероятностей девяти переходов $5s-5p$ в атомарном криптоне. Измерения проводились на плазме, создаваемой в ударной трубе с диафрагмой длиной 6 м и поперечным сечением 52×52 мм. Заселенности нижних уровней $5s$ рассчитывались в предположении о локальном термодинамическом равновесии в плазме по значениям плотности электронов и плотности атомов в основном состоянии, которые определялись с помощью интерферометра Маха-Ценде-

φ. 1984, 18, № 6

ра из измерений фазовых сдвигов на двух длинах волн
Не—Не-лазера (6328 и 11 565 Å) в моменты времени,
соответствующие завершению процесса ионизационной
релаксации в месте наблюдения после прохождения
ударной волны. Для увеличения чувствительности изме-
рений горизонтально направленный предметный пучок
пропускался через плазму 11 раз в плоскости, перпенди-
кулярной направлению распространения ударной волны.
Предметный пучок в схеме интерферометра Майкель-
сона, используемого для измерений крюков Рождествен-
ского, проходил через ударную трубу в той же плоско-
сти в вертикальном направлении. В качестве источника
освещения для интерферометра Майкельсона применялся
перестраиваемый по частоте лазер на красителе, на-
качка которого осуществлялась излучением рубинового
лазера, работающего в режиме модулированной доброт-
ности. Интерференционные зеркала отображались с
увеличением 1:1 на входную щель спектрографа. По-
лученные значения вероятностей переходов $5s - 5p$ в
криptonе сравниваются с результатами измерений, вы-
полненных другими методами.

Н. Г. Ковальский

Kr

1984

[Om. 18598]

100: 111391f Absolute transition probabilities of 5s-5p transitions of krypton(Kr I) from interferometric measurements in LTE plasmas. Kaschek, K.; Ernst, G. K.; Boetticher, W. (Inst. Plasmaphys., Univ. Hannover, D-3000 Hannover, Fed. Rep. Ger.). *Physica B+C (Amsterdam)* 1984, 123(2), 238-46 (Eng). Abs. transition probabilities of 9 5s-5p transitions of Kr I were evaluated by using the hook method. The plasma was produced in a shock tube. The population d. of the 5s-levels was calcd., under the assumption of local thermodn. equil. (LTE), from the electron d. and the ground state no. d. measured by means of a dual wavelength interferometer. An evaluation is given which proves the validity of the LTE assumption.

(fmn)

c.A.1984, 100, N14

Kr

1984

Kestin J., Knierim K.,
et al.,

бмопои J. Phys. Chem. Ref. Data
бэршадь- 1984, 13(1), 229-303.

коди

коди

(св. He; III)

Kz

1984

Olofsson G., Oshodj A.A.,

DaqH; J. Chem. Thermodyn.,
1984, 16, N 11, 1041-1052.

(c.v.-He(i); I)

Узорчиков Рев Кр

1984

16 Б1015. Прямой метод ССП для расчета структуры атомных уровней при малых Z. Приложение к некоторым возбужденным уровням изоэлектронного ряда Kr. A direct SCF method for low-Z atomic level structure. Application to some excited levels of the Kr isoelectronic series. Sureau A., Guennou H., Cognielle M. «J. Phys. B: Atom. and Mol. Phys.», 1984, 17, № 4, 541—553 (англ.)

расчет 81;

Описан метод расчета атомных уровней энергии, основанный на использовании гамильтониана, состоящего из нерелятивистской части и оператора спин-орбитального взаимодействия. Применение вариаци. метода к задачам с подобным гамильтонианом и с волновой ф-цией, отвечающей схеме связи моментов LSJ и построенной на конечном базисном наборе орбиталей, позволяет получить ур-ния многоконфигурац. метода ССП. Развитое

Х. 1984, 19, N 16

приближение справедливо для небольших значений за-
ряда ядра Z . Описаны приемы вычисления возникаю-
щих интегралов. В кач-ве примера рассчитаны уровни
энергии систем изоэлектронного ряда $K\Gamma$ [вплоть до
 $Mo(7+)$], для к-рых известны надежные эксперим.
данные. Полученные теор. результаты признаны удов-
летворительными, хотя отмечена сильная зависимость
от качества используемого базиса. А. В. Немухин

Kr

[Cn. 21722]

1985

Barocchi F., Zoppi M., et al.,

meopem
pacem

Phys. Rev. A 1985, 31, N 4
2732-2735.

Kr Shaw D.A., King G.C., 1986
Read F.H.

et al. Chem. Phys. Lett.,
1986, 129, n1, 17-23.

(all. \bullet CO_2 ; III)

Kz

1986

Urbanovaich S. I.,

Vestsi Akad. Nauk BSSR,

Ser. Fiz.-mat. Nauk

meop. 1986, (4), 99-103.

(cui. Na; $\frac{III}{II}$)

Kr

[DM. 27973] 1987

Glossman D., Donnamaria C., et al.

(y)

Acta phys. slov., 1987,
meop. pacrim 37, N 5, 298-315.

Kr

1988

Г 6 Л102. Силы осцилляторов резонансных линий Kr.
Optical oscillator strengths of the resonance lines of Kr
/ Tsurubuchi Seiji // Бунко кэнкю=J. Spectrosc. Soc.
Jap.— 1988.— 37, № 4.— С. 271—276.— Яп. Место
хранения ГПНТБ СССР

Методом самопоглощения определены силы осцилля-
тора линий Kr $4p^6 1S - 5s' [1/2]^0$ (1164,9 Å) и $4p^6 1S -$
 $5s [3/2]^0$ (1235,8 Å), равные $0,139 \pm 0,006$ и $0,155 \pm 0,005$
соответственно. Эти значения на $\sim 20\%$ меньше сооб-
щавшихся ранее.

СИЛЫ ОСЦИЛ-
ЛЕТОРА

окт. 1989, № 6

Kr

1988

(fmn)

110: 181749j Optical oscillator strengths of the resonance lines of krypton. Tsurubuchi, Seiji (Fac. Technol., Tokyo Univ. Agric. Technol., Koganei, Japan 184). *Bunko Kenkyu* 1988, 37(4), 271-6 (Japan). Optical oscillator strengths of resonance lines of Kr were measured by the self-absorption method. Results obtained were 0.139 ± 0.006 ($4p^6S-5s^1[1/2]^o$, 1164.9 Å) and 0.155 ± 0.005 ($4p^6S-5s[11/2]^o$, 1235.8 Å), which were ~20% smaller than several literature and theor. values. The behavior of transmission curves at $k\alpha l > 3$ is also discussed.

S. Fujieda

C.A. 1989, 110, N20

Kr

1989

→ 8 Л87. Измерения сверхтонких расщеплений уровней конфигурации $4p^55p$ в ^{83}Kr методом лазерной спектроскопии насыщенного поглощения. Hyperfine splittings in $4p^55p$ configuration of ^{83}Kr using saturated absorption laser spectroscopy / Brandenberger J. R. // Phys. Rev. A.— 1989.— 39, № 1.— С. 64—68.— Англ.

В ячейке с криptonом, обогащенным по изотопу ^{83}Kr , РЧ-разрядом возбуждались уровни состояния $4p^55s$, переходы с которых исследовались с помощью диодных одномодовых лазеров. Для измерения сверхтонкой структуры переходов применялся метод насыщенного поглощения с лазерной оптич. накачкой. Измерены константы сверхтонкой структуры A и B для уровней $2p_2$, $2p_3$, $2p_8$ и $2p_9$ конфигурации $4p^55p$ изотопа ^{83}Kr . Хорошее совпадение полученных данных с результатами проведенных ранее теоретич. расчетов указывает на высокую надежность метода параметрич. анализа.

В. Н. Федосеев

cb. 1989, N 8

Kz

1989

Gao Yufei, Winn et al.,
et al.

Phys. Rev. A. 1989. 40,
N II. C. 6685-6688.

(Cell. Me; II)

K₂·5·933 H₂O

1989

Handa Y. P. Yamamoto
O. et al.

C_p J. Chem. Thermodyn.

1989, 21, N^o 12, p. 1249-
1262.



(cui, Xe·6, 176 H₂O, I)

Kr

LOM 35112

1990

Shelton A.P.,

Phys. Rev. A 1990, 42,
N5, 2578-2592.

Nonlinear-optical susceptibilities of gases measured

at 1064 and 1319 nm.

Kr

(OM.33588)

1990

Tsurubuchi S., Watanabe K.,
et al.,

cilia

occuludis J. Phys. Soc. Jap., 1990, 59,
mopa N₂, 497-505.

Optical Oscillator Strengths of
the Resonance Lines of Rare
Gases.

84 Kr

1993

(ε_i)

122: 19171r Wavelengths and energy levels of neutral Kr⁸⁴ and level shifts in all Kr even isotopes. Kaufman, Victor (National Institute Standards and Technology, Gaithersburg, MD 20899-0001 USA). *J. Res. Natl. Inst. Stand. Technol.* 1993, 98(6), 717-24 (Eng). Interferometrically-measured wavelengths of 109 lines of neutral Kr⁸⁴ are compared with those of Kr⁸⁶. Sixty energy levels of neutral Kr⁸⁴ derived from those wavelengths and 25 Kr⁸⁶-Kr⁸⁴ isotope shifts previously measured are given along with their shifts from the energy levels of Kr⁸⁶. Twenty levels of each of Kr⁸², Kr⁸⁰, and Kr⁷⁸ are also evaluated using isotope-shift information in the literature. The differences between the exptl. obsd. shifts and the normal mass shift leave large neg. residuals which are accounted for by ionization energy differences and by the specific mass shift. It appears that the vol. effect causes only a very small, if any, energy level shift.

C.A. 1995, 122, N2

Kr

Om · 39634

1994

Hiroshi Tatwaki,
Hynaei Toshikatsu Toga,
Hyeon-
Cocomotoh

Chem. Phys. Lett., 1994,
228, 562 - 567

Kr

1995

Debranc P.,

Plasma - Mater. Interact.
Data Fusion 1995, 6, 43-49.

(all Ne; II)

Kr (III)

1996

(Ei)

126: 149778n New energy levels of the Kr III spectrum. Almandos, J. G. Reyna; Bredice, F.; Raineri, M.; Gallardo, M.; Trigueros, A. G. (Centro Investigaciones Opticas, 1900 La Plata, Argent.). *J. Phys. B: At., Mol. Opt. Phys.* 1996, 29(23), 5643–5650 (Eng), Institute of Physics Publishing. A new anal. of the optical spectrum of Kr III is presented. The configurations $4s^24p^4$, $4s4p^5$, $4s^24p^35p$, and $4s^24p^3(4d + 5d + 6d + 5s + 6s + 7s)$ were studied and the energy levels reported for these configurations were revised and extended to include 3 new levels of the $4s^24p^36s$ configuration, 16 new levels of the $4s^24p^35d$ configuration and 5 new levels of the $4s^24p^36d$ configuration. Twenty known level values of the odd configurations were redesignated. The energy parameters were obtained using relativistic Hartree–Fock calcns. CI Rydberg series were included in the calcns. and calcd. lifetime values for the energy levels of the odd configurations are presented.

C.A. 1997, 126, N 11

1997

F: Kr

P: 3

2Б2384. Расчет сечений рассеяния нейтральных продуктов перезарядки метастабильно возбужденных ионов инертных газов / Маркин М. И. // Хим. физ. - 1997. - 16, 8. - С. 81-87. - Рус.

Проведен расчет дифференциальных сечений рассеяния высоковозбужденных атомов Ar и Kr - продуктов перезарядки метастабильно возбужденных ионов Ar{+} и Kr{+} на ряде атомов и молекул при поступательных энергиях 75-250 эВ. Расчет основан на предположении, что продукты перезарядки расталкиваются из-за кулоновского взаимодействия

между вторичным ионом и слабо экранированным остовом образовавшегося высоковозбужденного атома. Характерной особенностью полученных кривых зависимости сечения рассеяния от угла является наличие на них резкого "провала" при характеристическом угле рассеяния ' θ '=' $\Delta t/T/2$ ', где ' $\Delta t/T$ ' изменение поступательной энергии продуктов, а T -поступательная энергия налетающего иона. Сформулированы требования к угловой разрешающей способности аппаратуры, с помощью которой можно было бы проверить справедливость предлагаемого механизма перезарядки.



Kz

1998

Blushkov A.V.
et al.,

Greenrock,
Van der Russ. Phys. q. 1998,
Waals. 41(3), 223-226
Accum

(all. Ne^+ , II)